

(OPEN ACCESS)

The effect of biochar on the improvement of some morphophysiological and biochemical characteristics of cowpea (*Vigna unguiculata* L.) grown in chromium-contaminated soil

Sharifeh Alsadat Nabavi¹, Hemmatollah Pirdashti^{*2}, Fardin Sadegh-Zadeh³, Yasser Yaghoubian⁴

1. Ph.D. Student of Sari Agricultural Sciences and Natural Resources University, Sari, Iran. E-mail: sharifa.nabavi@gmail.com
2. Corresponding Author, Professor of Sari Agricultural Sciences and Natural Resources University, Sari, Iran. E-mail: h.pirdashti@sanru.ac.ir
3. Associate Prof. of Sari Agricultural Sciences and Natural Resources University, Sari, Iran. E-mail: fardin.upm@gmail.com
4. Assistant Prof. of Sari Agricultural Sciences and Natural Resources University, Sari, Iran. E-mail: y.yaghoubian@yahoo.com

Article Info

Article type:
Full Length Research Paper

Article history:
Received: 09.25.2024
Revised: 10.15.2024
Accepted: 12.03.2024

Keywords:
Enzyme activity,
Heavy metals,
Oxidative stress,
Soil amendment,
Stem diameter

ABSTRACT

Background and Objectives: Chromium (Cr) at higher concentrations acts as a major pollutant and heavy metal (HM), causing many environmental problems and contaminating the food chain. In plants, the toxic effects of Cr are also evident, exhibiting symptoms such as delayed germination, damaged roots and reduced root growth, decreased biomass, reduced plant height, photosynthesis, reduced grain yield, and ultimately causing plant death. In recent years, organic amendments such as biochar, which significantly stabilize HMs in soil and water, have been considered. Therefore, the aim of present research was investigated the different levels of rice straw-derived biochar in mitigating the negative effects of Cr in cowpea (*V. unguiculata* L.).

Materials and Methods: A factorial experiment based on a completely randomized design was used in 2023 at the research greenhouse of Sari Agricultural Sciences and Natural Resources University. The treatments consisted of biochar (0, 1, 2, and 4 weight percent) and Cr (0, 2.5, 5, 10 and 25 mg kg⁻¹) with three replications. In this experiment, stem diameter (SD), plant height (PH), root and shoot dry weight (RDW and SDW), chlorophyll a, b (Chl a and b) and carotenoids (CAR), electrolyte leakage (EL), hydrogen peroxide (H₂O₂), the activity of catalase (CAT) and superoxide dismutase (SOD) were measured.

Results: Based on the findings, the interaction of applying biochar levels in different concentrations of Cr showed a significant difference in all traits except for the SD trait. Increasing Cr concentration negatively affected the traits studied; however, the application of biochar significantly mitigated these adverse effects. The optimal performance across all Cr levels consistently occurred at the 4-weight percent level of biochar. Thus, using four weight percent biochar increased physiological traits, including Chl a and b, CAR, and EL by 92.88, 95.27, 95.36 and 63.94%, respectively. It also reduced the activity of CAT and SOD enzymes and H₂O₂ production

by 4.88, 53.68 and 34.25 percent, respectively. In addition, between the activity of the two enzymes of CAT and SOD and the production of H₂O₂ with the SDW, a negative and significant correlation of (-0.89^{**}, -0.85^{**}, and -0.81^{**}) was observed, respectively.

Conclusion: Overall, increasing the concentration of Cr in the soil negatively affected all the studied morpho-physiological and biochemical traits; conversely, using different levels of biochar moderated the negative effects of chromium. The concentration of 25 mg/kg of Cr had the most negative effects, and at all levels of Cr, the level of 4 (weight percent) of biochar always had the best results in terms of evaluated parameters. According to the results of the current research, biochar can significantly improve the growth of the cowpea under Cr stress conditions.

Cite this article: Nabavi, Sharifeh Alsadat, Pirdashti, Hemmatollah, Sadegh-Zadeh, Fardin, Yaghoubian, Yasser. 2026. The effect of biochar on the improvement of some morphophysiological and biochemical characteristics of cowpea (*Vigna unguiculata* L.) grown in chromium-contaminated soil. *Journal of Plant Production Research*, 32 (4), 47-68.



© The Author(s).

DOI: 10.22069/jopp.2024.22819.3192

Publisher: Gorgan University of Agricultural Sciences and Natural Resources

تأثیر زغال زیستی بر بهبود برخی صفات مورفولوژیک و زیست‌شیمیایی لوبیا چشم‌بلبلی (*Vigna unguiculata* L.) کشت‌شده در خاک آلوده به کروم

شریفه السادات نبوی^۱، همت‌اله پیردشتی^{۲*}، فردین صادق‌زاده^۳، یاسر یعقوبیان^۴

۱. دانشجوی دکتری دانشگاه علوم کشاورزی و منابع طبیعی ساری، ساری، ایران. رایانامه: sharifa.nabavi@gmail.com
۲. نویسنده مسئول، استاد دانشگاه علوم کشاورزی و منابع طبیعی ساری، ساری، ایران. رایانامه: h.pirdashti@sanru.ac.ir
۳. دانشیار دانشگاه علوم کشاورزی و منابع طبیعی ساری، ساری، ایران. رایانامه: fardin.upm@gmail.com
۴. استادیار دانشگاه علوم کشاورزی و منابع طبیعی ساری، ساری، ایران. رایانامه: y.yaghoobian@yahoo.com

اطلاعات مقاله	چکیده
نوع مقاله: مقاله کامل علمی- پژوهشی	سابقه و هدف: کروم در غلظت‌های بالا به‌عنوان یک آلاینده اصلی و عنصر سنگین سبب بسیاری از مشکلات زیست‌محیطی شده و زنجیره غذایی را آلوده می‌سازد. در گیاهان، اثرات سمی کروم نیز مشهود است و سبب تأخیر در جوانه‌زنی، آسیب و کاهش رشد ریشه، زیست‌توده و ارتفاع گیاه، اختلالات فتوسنتزی، کاهش عملکرد دانه و در نهایت مرگ گیاه می‌شود. در سال‌های اخیر استفاده از اصلاح‌کننده‌های آلی مانند زغال زیستی با عملکرد قابل توجه در تثبیت فلزات سنگین در خاک و آب مورد توجه قرار گرفته است. از این رو، هدف از پژوهش حاضر، بررسی استفاده از سطوح مختلف زغال زیستی تولیدشده از کاه برنج جهت کاهش اثرات منفی فلز کروم در گیاه لوبیا چشم‌بلبلی (<i>V. unguiculata</i> L.) اجرا شده است.
تاریخ دریافت: ۱۴۰۳/۰۷/۰۴ تاریخ ویرایش: ۱۴۰۳/۰۷/۲۴ تاریخ پذیرش: ۱۴۰۳/۰۹/۱۳	مواد و روش‌ها: پژوهش به‌صورت آزمایش فاکتوریل در قالب طرح کاملاً تصادفی در گلخانه تحقیقاتی دانشگاه علوم کشاورزی و منابع طبیعی ساری در سال ۱۴۰۲ انجام شد. تیمارها شامل زغال زیستی (صفر، ۱، ۲ و ۴ درصد وزنی) و کروم (صفر، ۲/۵، ۵، ۱۰ و ۲۵ میلی‌گرم بر کیلوگرم) و با سه تکرار بودند. در این آزمایش قطر ساقه، ارتفاع بوته، وزن خشک ریشه و اندام هوایی، کلروفیل a و b و کاروتنوئید، نشن الکترولیت، پراکسید هیدروژن و فعالیت دو آنزیم کاتالاز و سوپراکسید دیسموتاز اندازه‌گیری شدند.
واژه‌های کلیدی: اصلاح خاک، تنش اکسیداتیو، فعالیت آنزیمی، فلزات سنگین، قطر ساقه	یافته‌ها: بر اساس یافته‌ها برهم‌کنش کاربرد سطوح زغال زیستی در غلظت‌های مختلف کروم به‌غیر از صفت قطر ساقه، در سایر صفات معنی‌دار بود. افزایش غلظت کروم اثر منفی بر صفات موردبررسی نشان داد اما استفاده از زغال زیستی اثرات منفی آن را کاهش داده و همواره بهترین عملکرد صفات ریخت‌شناسی و فیزیولوژیک در تمامی سطوح کروم در سطح ۴ درصد وزنی

زغال زیستی مشاهده شد. به طوری که استفاده از سطح زغال زیستی ۴ درصد وزنی، صفات فیزیولوژیک شامل غلظت کلروفیل‌های a و b و کاروتنوئید و استحکام غشاء را به ترتیب به میزان ۹۲/۸۸، ۹۵/۲۷، ۹۵/۳۶ و ۳۶/۹۴ درصد افزایش داد. در مقایسه، فعالیت آنتی‌اکسیدان‌های آنزیمی کاتالاز و سوپراکسید دیسموتاز و تولید پراکسید هیدروژن را به میزان ۴/۸۸، ۵۳/۶۸ و ۳۴/۲۵ درصد کاهش داد. بین فعالیت آنزیم‌های کاتالاز و سوپراکسید دیسموتاز و تولید پراکسید هیدروژن با وزن خشک اندام هوایی همبستگی منفی و معنی‌داری (به ترتیب $^{**} -0/89$ ، $^{**} -0/85$ و $^{**} -0/81$) مشاهده شد.

نتیجه‌گیری: به طوری که، افزایش غلظت کروم در خاک به صورت منفی تمامی صفات ریخت‌شناسی و زیست‌شیمیایی مورد مطالعه را تحت تأثیر قرارداد و بالعکس استفاده از سطوح مختلف زغال زیستی اثرات منفی کروم را تعدیل کرد. غلظت ۲۵ میلی‌گرم بر کیلوگرم کروم بیش‌ترین اثر منفی را ایجاد کرد و در تمامی سطوح کروم، همواره ۴ چهار درصد وزنی زغال زیستی بهترین نتایج را با توجه به پارامتر مورد ارزیابی به همراه داشت. بر اساس یافته‌های پژوهش حاضر، زغال زیستی می‌تواند رشد گیاه لوبیا چشم‌بلبلی را در شرایط تنش کروم به طور قابل توجهی بهبود بخشد.

استناد: نبوی، شریفه السادات، پیردشتی، همت‌اله، صادق‌زاده، فردین، یعقوبیان، یاسر (۱۴۰۴). تأثیر زغال زیستی بر بهبود برخی صفات مورفوفیزیولوژیک و زیست‌شیمیایی لوبیا چشم‌بلبلی (*Vigna unguiculata* L.) کشت‌شده در خاک آلوده به کروم. نشریه پژوهش‌های تولید گیاهی، ۳۲ (۴)، ۶۸-۴۷.

DOI: 10.22069/jopp.2024.22819.3192



© نویسندگان

ناشر: دانشگاه علوم کشاورزی و منابع طبیعی گرگان

مقدمه

مسأله آلودگی خاک‌ها به فلزات سنگین، از جمله مشکلات عمده زیست‌محیطی در جوامع است که علاوه بر اثرات زیان‌بار بر جوامع گیاهی و جانوری خاک و آلودگی آب‌های زیرزمینی از طریق آبشویی، کاهش رشد، عملکرد و کیفیت محصول و سرانجام به‌خطر افتادن سلامتی افراد جامعه را به همراه دارد (۱). کروم (Cr) با چگالی ۷/۱۹ (گرم بر سانتی‌متر مکعب)، از مشکل‌سازترین فلزات سنگین با چندین حالت اکسایشی است که مهم‌ترین آن‌ها کروم سه و شش ظرفیتی هستند (۲). کروم شش ظرفیتی به‌دلایلی چون سمیت، قابلیت جهش‌زایی، سرطان‌زایی و ناهنجاری در جنین؛ برای سلامت عمومی و اکوسیستم خطرناک‌تر است (۳). کروم در غلظت‌های بالا به‌عنوان یک آلاینده اصلی برای محیط‌زیست عمل می‌کند. منابع طبیعی و همچنین فعالیت‌های مختلف انسانی مسئول انتشار کروم در خاک، هوا و آب هستند که در نهایت منجر به آلودگی کروم در سطح جهان شده‌اند (۴). از مصارف کروم می‌توان به تهیه آلیاژها، پارچه‌بافی، چاپ، رنگ‌رزی، عکاسی، تهیه کاغذ دیواری، تهیه مواد منفجره، ساخت کبریت، اجناس لاستیکی، سیمان‌سازی، چرم‌سازی و آبکاری فلزات اشاره کرد (۵). قرارگیری در معرض کروم شش ظرفیتی سبب ایجاد تنش اکسیداتیو به دلیل تولید رادیکال‌های آزاد می‌شود که فرآیندهای ریخت‌شناسی و زیست‌شیمیایی گیاه را در سطوح بافتی و سلولی تغییر می‌دهد (۶).

در سال‌های اخیر استفاده از اصلاح‌کننده‌های آلی هم‌چون زغال زیستی در خاک‌های آلوده به فلزات سنگین به دلیل عملکرد بی‌نظیر آن در تثبیت فلزات سنگین در خاک و آب مورد توجه قرار گرفته است (۷ و ۸). زغال زیستی ماده‌ای متخلخل و کربنی است که از طریق پیرولیز زیست‌توده‌های گیاهی تولید

می‌شود. کربن موجود در زغال زیستی به‌صورت منبع بلندمدت کربن ذخیره یا جایگزین کربن فسیلی در تولید صنعتی می‌شود (۹). ماهیت فلیایی زغال زیستی می‌تواند باعث کاهش غلظت قابل‌جذب عناصر سنگین فلزی در خاک شود. مقادیر بالاتر pH پس از افزودن زغال زیستی می‌تواند منجر به رسوب فلزات سنگین در خاک شود (۱۰). زغال زیستی هم‌چنین می‌تواند تحرک فلزات سنگین را کاهش و حالت ردوکس (اکسیداسیون و احیاء) آن‌ها را تغییر دهد. به‌عنوان مثال، افزودن زغال زیستی کروم شش ظرفیتی را به فرم کم‌تحرک‌تر سه‌ظرفیتی تبدیل می‌کند (۱۱). کاربرد زغال زیستی هم‌چنین تولید، تجمع زیست‌توده و فعالیت فتوسنتزی گیاهان کشت‌شده در خاک‌های آلوده به فلزات را از طریق تنظیم سازوکارهای مختلف زیست‌شیمیایی و فیزیولوژیک افزایش می‌دهد و هم‌چنین تشکیل گونه‌های اکسیژن فعال (ROS) را با فعال کردن تولید آنتی‌اکسیدان‌های آنزیمی مانند آسکوربات پراکسیداز (APX)، کاتالاز (CAT)، سوپراکسید دیسموتاز (SOD) و پراکسیداز (POX) از بین می‌برد (۱۲). بر اساس گزارش‌ها، حبوبات و گیاهان روغنی می‌توانند فلزات سنگینی هم‌چون کروم را از خاک جذب و در بافت خود انباشته کنند (۱۳). پژوهش‌های متعدد نشان داده‌اند که گیاه لوبیا چشم‌بلبلی (*V. unguiculata* L.) توانایی بالقوه‌ای در خصوص جذب و انباشت کروم از خاک‌های آلوده دارد (۱۴، ۱۵، ۱۶ و ۱۷).

با توجه به این‌که کروم یک فلز سنگین خطرناک است که منابع آب‌وخاک را به‌شدت آلوده می‌کند و یک تهدید زیست‌محیطی جدی به شمار می‌آید (۱۸)؛ پژوهش حاضر باهدف بررسی اثر افزودن زغال زیستی بر برخی صفات مورفوفیزیولوژیک و هم‌چنین چگونگی القای تنش اکسیداتیو در گیاه زراعی لوبیای چشم‌بلبلی در مقادیر مختلف کروم اجرا شد.

مواد و روش‌ها

پژوهش حاضر در گلخانه تحقیقاتی دانشگاه علوم کشاورزی و منابع طبیعی ساری و در سال ۱۴۰۲ به صورت آزمایش فاکتوریل در قالب طرح کاملاً تصادفی با سه تکرار انجام گرفت.

خاک مورد آزمایش: نمونه‌های خاک پس از تهیه، هوا خشک شده و از الک ۲ میلی‌متری عبور داده شدند. برخی ویژگی‌های فیزیکی و شیمیایی از جمله بافت خاک (۱۹)، pH در گل اشباع (۲۰)، قابلیت هدایت الکتریکی در عصاره گل اشباع (۲۱)، کربن آلی (۲۲) و کربنات کلسیم (۲۳) تعیین شدند (جدول ۱).

جدول ۱- برخی مشخصات فیزیکی- شیمیایی خاک مورد آزمایش.

Table 1. Some physical and chemical characteristics of the tested soil.

پتاسیم K (mg kg ⁻¹)	فسفر P (mg kg ⁻¹)	نیتروژن (درصد) N (%)	کربنات کلسیم (درصد) Carbonate calcium (%)	کربن آلی (درصد) Organic carbon (%)	هدایت الکتریکی EC (dSm ⁻¹)	اسیدیت pH	بافت خاک Soil texture
300	12	0.5	7	1.2	0.99	7.74	لوم-رسی Clay-loam

ساری انجام گرفت. برخی ویژگی‌های زغال زیستی (جدول ۲) شامل چگالی (۲۴)، قابلیت هدایت الکتریکی، pH، کربن، نیتروژن، فسفر و پتاسیم کل اندازه‌گیری شدند (۲۵).

تهیه زغال زیستی: ابتدا کاه از مزرعه برنج جمع‌آوری و پس از هوا خشک و خرد شدن، به مدت ۴ ساعت در دمای ۴۰۰ درجه سانتی‌گراد در کوره بدون حضور اکسیژن پیرولیز شد. این فرآیند با استفاده از یک کوره طراحی شده در دانشگاه علوم کشاورزی و منابع طبیعی

جدول ۲- برخی ویژگی‌های زغال زیستی مورد استفاده در آزمایش.

Table 2. Some characteristics of biochar used in the experiment.

پتاسیم K (mg kg ⁻¹)	فسفر P (mg kg ⁻¹)	نیتروژن (درصد) N (%)	کربن (درصد) C (%)	اسیدیت pH	هدایت الکتریکی EC (dSm ⁻¹)	چگالی Density (gr cm ⁻³)
1579	580	1.53	55.06	9.2	7.02	0.51

مخلوط شدند به گلدان‌های ۳ کیلوگرمی منتقل و به مدت ۴ هفته جهت ایجاد برهم‌کنش‌های بین کروم، زغال زیستی و خاک در شرایط رطوبتی ظرفیت زراعی در گلخانه قرارداد شده تا تعادل لازم بین آن‌ها برقرار شود. کوددهی گلدان‌ها بر اساس مقادیر توصیه‌شده در آزمون خاک شامل سوپرفسفات تریپل، سولفات پتاسیم (قبل کشت) و اوره (۳ مرحله پس از کشت) به ترتیب ۱۰۰، ۸۰ و ۳۰۰ کیلوگرم در هکتار

کاشت بذر و اعمال تیمارها: سطوح کروم و زغال زیستی مورد استفاده در این آزمایش به ترتیب شامل صفر، ۲/۵، ۵، ۱۰ و ۲۵ میلی‌گرم در کیلوگرم و صفر، ۱، ۲ و ۴ درصد وزنی بودند. به‌منظور به‌منظور دستیابی به سطوح موردنظر، مقادیر موردنیاز نمک دی‌کرومات پتاسیم در ۱۰۰ میلی‌لیتر آب حل شده و روی مقدار ۳ کیلوگرم خاک و سطوح زغال زیستی موردنظر اسپری شد و پس از آن که در یک ظرف بزرگ به‌خوبی

Guanglu) اندازه‌گیری و بر اساس واحد میلی‌متر گزارش شد. ارتفاع بوته نیز با استفاده از یک خط‌کش اندازه‌گیری گردید. پس از تفکیک اندام هوایی و ریشه از یکدیگر، نمونه‌ها به مدت ۷۲ ساعت در آون با دمای ۷۰ سانتی‌گراد قرارداد شدند. پس از رسیدن به وزن خشک ثابت با استفاده از ترازوی حساس ۰/۰۰۱ (HR-100i) ساخت کشور ژاپن وزن شدند. هم‌چنین، به‌منظور اندازه‌گیری کلروفیل‌های a و b و کاروتنوئید، تعداد شش عدد نمونه برگ‌ی پانچ شده از آخرین برگ‌های توسعه‌یافته گیاه، برداشت و در هشت میلی‌لیتر متانول قرارداد شده و به مدت ۲۴ ساعت در تاریکی و در دمای اتاق قرار گرفتند. سپس میزان جذب نوری محلول حاصل در طول موج‌های ۶۶۵/۲، ۶۵۲/۴ و ۴۷۰ نانومتر با استفاده از دستگاه اسپکتروفتومتر (Analytic jena-SPEKOL 1300) قرائت و ثبت شدند. در انتها مقادیر کلروفیل a (Chl_a)، b (Chl_b) و کاروتنوئید به ترتیب با استفاده از روابط ۱ تا ۳ محاسبه شدند (۲۶).

انجام گرفت که به ترتیب برای هر گلدان معادل ۲، ۱/۶ و ۶ گرم بود. گیاه زراعی مورد استفاده در این پژوهش، لوبیا چشم‌بلبلی رقم مشهد (تهیه‌شده از مرکز تحقیقات حبوبات دزفول) بود. پس از ضدعفونی، تعداد ۱۰ عدد بذر در عمق ۴ سانتی‌متری در گلدان‌های از پیش آماده کشت شدند. گلدان‌ها در گلخانه‌ای با شرایط نور طبیعی و دمای ۲۸/۲۰ (روز/شب) قرار گرفته و به‌صورت روزانه، دستی و بر اساس رطوبت ظرفیت زراعی با استفاده از درصد رطوبت اشباع و بافت خاک آبیاری شدند. هم‌چنین، برای گلدان‌ها از زیرگلدانی استفاده شد تا در صورت خروج آب زهکشی مجدداً به خاک گلدان اضافه گردد. در ادامه گیاهچه‌ها در مرحله ۴ برگ‌ی تنک شده و به ۴ بوته در هر گلدان کاهش یافتند.

اندازه‌گیری صفات: در انتهای رشد رویشی گیاه (BBCH 50) صفات قطر و ارتفاع بوته، رنگدانه‌ها، نشت الکترولیت، پراکسید هیدروژن و آنزیم‌های کاتالاز و سوپراکسید دیسموتاز اندازه‌گیری شدند. قطر ساقه با استفاده از یک کولیس دیجیتال (مدل

$$\text{Chl a } (\mu\text{g/ml}) = 16.72 A_{665.2} - 9.16 A_{652.4} \quad (1)$$

$$\text{Chl b } (\mu\text{g/ml}) = 34.09 A_{652.4} - 15.28 A_{665.2} \quad (2)$$

$$\text{Carotenoid } (\mu\text{g/ml}) = (1000 A_{470} - 1.63 \text{ Chl a} - 104.96 \text{ Chl b})/221 \quad (3)$$

شد (EC₁). در ادامه، فالکن‌ها به مدت ۲۰ دقیقه در دستگاه بن‌ماری در دمای ۹۰ درجه سانتی‌گراد قرار داده و پس از سرد شدن مجدداً هدایت الکتریکی نمونه‌ها ثبت شدند (EC₂). سپس درصد نشت الکترولیت با استفاده از رابطه ۴ محاسبه شد (۲۷).

جهت اندازه‌گیری نشت الکترولیت، نمونه‌های برگ‌ی از آخرین برگ‌های توسعه‌یافته گیاه در فالکن حاوی ۱۰ میلی‌لیتر آب مقطر قرار گرفته و پس از گذشت ۲۴ ساعت هدایت الکتریکی هر نمونه با استفاده از دستگاه EC متر (CON 410) اندازه‌گیری

$$\text{درصد نشت الکترولیت} = \text{EC}_1/\text{EC}_2 \times 100 \quad (4)$$

تجزیه و تحلیل داده‌ها: ابتدا آزمون نرمال بودن داده‌ها با استفاده از روش کولموگروف-اسمیرنوف انجام و سپس محاسبات آماری با استفاده از نرم‌افزار SPSS (نسخه ۲۲) صورت گرفت. در ادامه، میانگین‌ها براساس آزمون حداقل تفاوت معنی‌داری (LSD) در سطح احتمال ۵ درصد مقایسه و رسم نمودارها با استفاده از نرم‌افزار Excel انجام شد.

نتایج و بحث

صفات ریخت‌شناسی: با توجه به نتایج تجزیه واریانس داده‌ها، اثر سطوح مختلف زغال زیستی و کروم بر صفات ریخت‌شناسی لوبیا چشم‌بلبلی معنی‌دار بودند. بین تیمارهای به‌کاررفته به‌غیراز صفت قطر ساقه در سایر صفات برهم‌کنش معنی‌داری مشاهده شد (جدول ۳).

بر اساس یافته‌ها با افزودن سطوح زغال زیستی و کروم، روند تغییرات قطر ساقه به‌صورت دو تکه‌ای و با ضرایب تبیین به ترتیب ۰/۸۹ و ۰/۹۸ بود. قطر ساقه به ترتیب با افزایش سطح زغال زیستی با شیب مثبت (ابتدا ۰/۶۲+ و سپس ۰/۰۱۵+) افزایش و کروم با شیب منفی (ابتدا ۰/۴۱- و سپس ۰/۰۳۴-) کاهش یافت. بیش‌ترین قطر ساقه (۵/۵ میلی‌متر) در تیمار زغال زیستی ۴ درصد وزنی به دست آمد که نسبت به شاهد و سطح کروم ۲۵ میلی‌گرم بر کیلوگرم به ترتیب ۱۶/۶۰ و ۶۳/۶۳ درصد بیشتر بود (شکل ۱- الف و ب). هم‌چنین مقایسه میانگین اثر سطوح زغال زیستی بر صفات ریخت‌شناسی دیگر نشان‌دهنده این بود که بیش‌ترین ارتفاع بوته با ۳۱/۶۶ سانتی‌متر (شکل ۲- الف)، وزن خشک اندام هوایی با ۲۱/۵۵ گرم در گلدان (شکل ۲- ب)، ریشه با ۷/۹۶ گرم در گلدان (شکل ۲- ج) و کل با ۲۹/۵۲ گرم در گلدان (شکل ۲- د) همواره در گلدان‌های تیمار سطح زغال زیستی ۴ درصد وزنی و کروم صفر به دست آمد. در

به‌منظور سنجش شاخص‌های زیست‌شیمیایی، پس از پایان دوره رشد رویشی و پیش از مرحله گلدهی از آخرین برگ‌های توسعه‌یافته گیاه نمونه برگ‌گی تهیه و در ورقه‌های فویل آلومینیمی قرار داده شده و در نیتروژن مایع قرار گرفتند و تا زمان انجام آزمایش‌های مربوطه در دمای ۲۰- درجه سانتی‌گراد نگهداری شدند. قرائت این پارامترها نیز با استفاده از دستگاه اسپکتروفتومتر (Analytic jena-SPEKOL 1300) در طول موج‌های موردنظر انجام شدند.

اندازه‌گیری آنزیم‌ها

کاتالاز: جهت استخراج محلول آنزیمی کاتالاز، ۰/۵ گرم از نمونه برگ‌گی با استفاده از نیتروژن مایع هضم و سپس مقدار ۵ میلی‌لیتر بافر فسفات حاوی EDTA ۰/۵ مولار به آن اضافه و سانتی‌فیوژ شد (۲۸). محلول آنزیمی حاصله به روش ابی و همکاران (۱۹۸۴) با افزودن پراکسید هیدروژن و بافر فسفات آماده‌شده و قرائت در طول موج ۲۴۰ نانومتر در مدت ۱ دقیقه ثبت شد. فعالیت آنزیمی با محاسبه میزان پراکسید هیدروژن تجزیه‌شده به‌واسطه آنزیم محاسبه شد (۲۹).

پراکسید هیدروژن: برای این منظور پس از هضم نمونه برگ‌گی با استفاده از نیتروژن مایع به ۰/۲ گرم از آن محلول ۰/۱ درصد اسید تری‌کلرواستیک (وزنی-حجمی) اضافه و سانتی‌فیوژ شدند. پس از افزودن بافر فسفات و یدید پتاسیم به محلول آنزیمی به‌دست آمده میزان جذب در طول موج ۳۹۰ نانومتر قرائت شد (۳۰).

سوپراکسید دیسموتاز: سنجش فعالیت این آنزیم به‌ترتیب با کمک ۱- بافر فسفات حاوی EDTA، متیونین و NBT و ۲- بافر ریوفلاوین بر اساس روش بوچمپ و فریدروویچ (۱۹۷۱) در طول موج ۵۶۰ نانومتر انجام شد (۳۱).

مقابل، کمترین میزان در تیمارهای سطح ۲۵ میلی گرم بر کیلوگرم کروم و زغال زیستی صفر با ۶۲/۴۷، ۵۵/۴۱، ۵۸/۵ و ۵۶/۲۴ درصد کاهش (به ترتیب ۱۷/۲۵ سانتی متر، ۸۱/۱۵، ۸۲/۳۲ و ۶۱/۴۷ گرم) مشاهده شد.

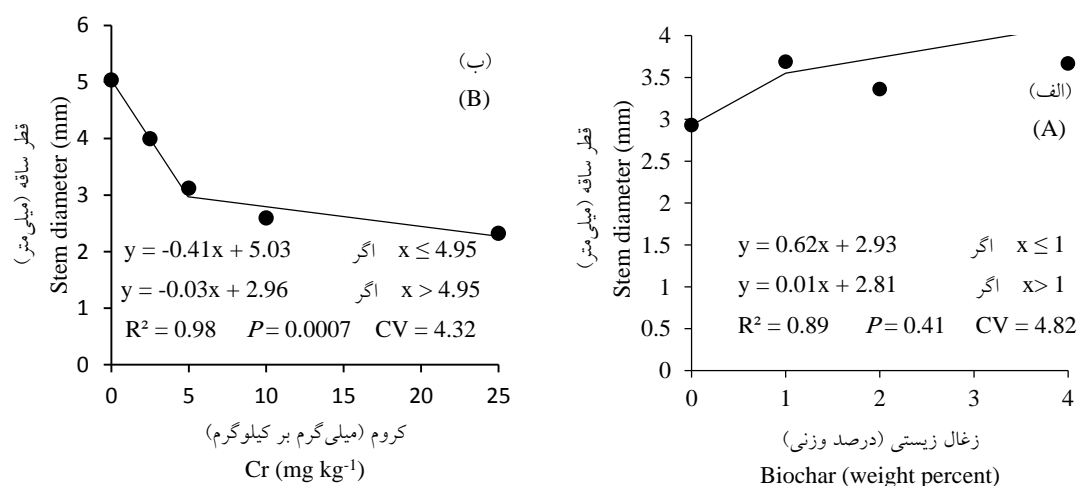
جدول ۳- نتایج تجزیه واریانس اثر سطوح زغال زیستی بر برخی صفات ریخت‌شناسی لوبیا چشم‌پلبلی کشت شده در خاک آلوده به کروم.

Table 3. Variance analysis of the effect of biochar levels on some morphological traits of cowpea grown in Cr-contaminated soil.

میانگین مربعات Mean of square						
وزن خشک Dry weight			ارتفاع بوته Plant height	قطر ساقه Stem diameter	درجه آزادی df	منابع تغییرات S.O.V
کل Total	ریشه Root	اندام هوایی Shoot				
557.63**	64.32**	245.62**	178.56**	1.87**	3	زغال زیستی B
564.6**	28.12**	343.5**	152.18**	14.75**	4	کروم Cr
2.88*	0.51*	2.93*	5.55*	0.19 ^{ns}	12	زغال زیستی × کروم B × Cr
1.20	0.24	1.38	2.21	0.16	40	خطای آزمایش E
5.72	8.83	8.7	6.79	11.83		ضریب تغییرات (درصد) CV (%)

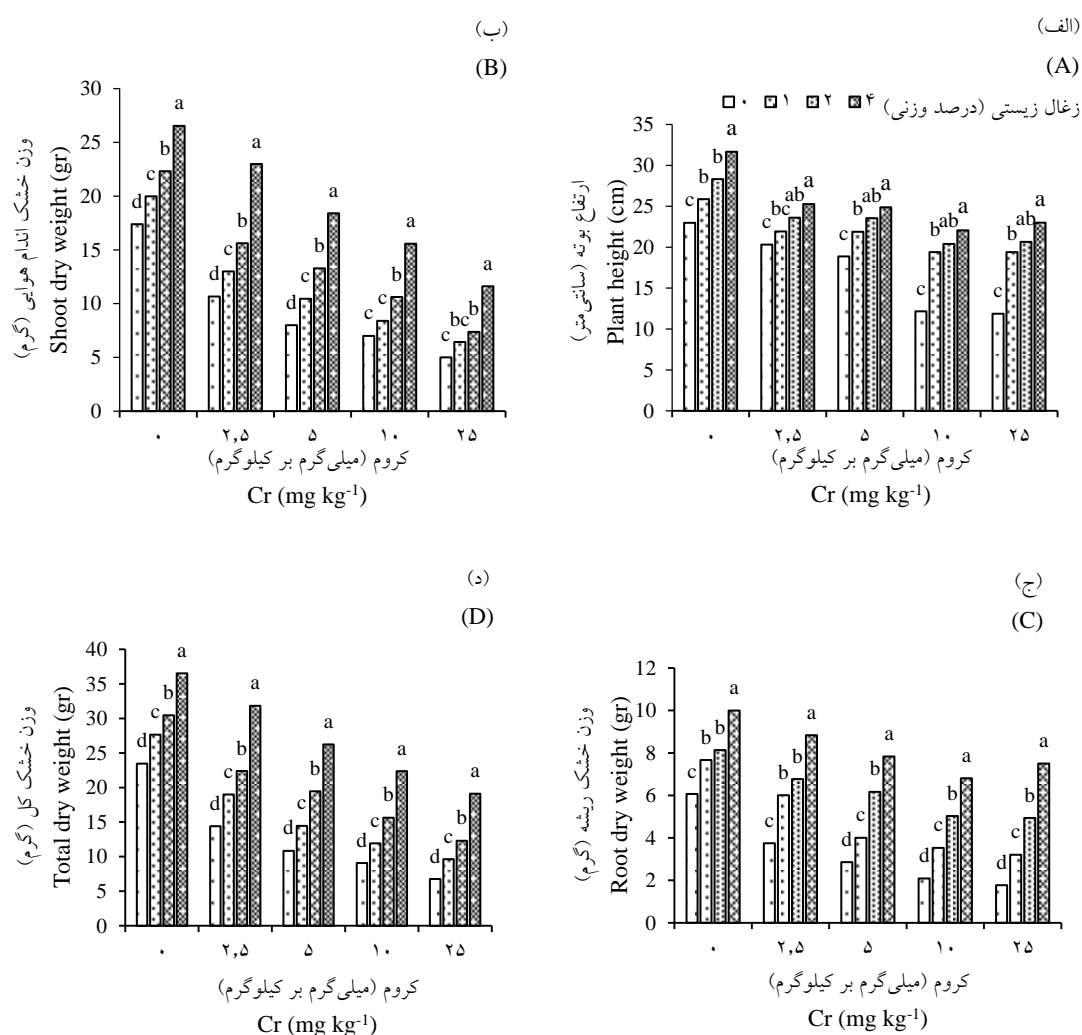
**، *، ^{ns} به ترتیب معنی‌داری در سطح احتمال ۱ و ۵ درصد و غیرمعنی‌دار

**، *، ^{ns} Significant differences at 1% and 5% levels and non-significant difference, respectively



شکل ۱- اثر سطوح زغال زیستی (الف) و کروم (ب) بر قطر ساقه.

Fig. 1. Effect of biochar (A) and Cr (B) levels on stem diameter.



شکل ۲- برش‌دهی برهم‌کنش سطوح زغال زیستی و کروم بر ارتفاع بوته (الف) و وزن خشک اندام هوایی (ب)، ریشه (ج) و کل بوته (د). در هر سطح کروم میانگین‌های دارای حرف یا حروف مشابه، تفاوت معنی‌داری در سطح احتمال ۵ درصد بر اساس آزمون حداقل اختلاف معنی‌دار (LSD) ندارند.

Fig. 2. Interaction slicing of biochar and Cr levels on plant height (A), shoot (B), root (C) and total dry weight (D). At each Cr level, the means with the same letter(s) are not significantly different at the 5% level based on the least significant difference (LSD) test.

فتوستتزر دارند، به‌صورت غیرمستقیم زیست‌توده گیاهی را متأثر می‌سازند (۳۴). سمیت کروم نیز از طریق ایجاد تنش اکسیداتیو بر چندین فرآیند فیزیولوژیک همانند فسفوریلاسیون، فتوستتزر و سایر فعالیت‌های آنزیمی تأثیر می‌گذارد. از میان صفات مورد اندازه‌گیری می‌توان وزن خشک اندام هوایی و ریشه را به‌عنوان یک معیار حساسیت گیاه در برابر تنش کروم در خاک در نظر گرفت (۳۵). کاهش رشد

به‌نظر می‌رسد افزودن زغال زیستی منجر به افزایش دسترسی به مواد غذایی (۳۲)، افزایش ظرفیت نگهداری آب در خاک و همچنین تماس ریشه با خاک از طریق کمک به توسعه سامانه ریشه‌ای (۷) می‌گردد. افزون بر این، زغال زیستی سرشار از مواد معدنی از جمله کربن معدنی، منیزیم و کلسیم است که بر رشد و ریخت‌شناسی گیاه اثر مثبتی دارد (۳۳). در مقایسه، فلزات سنگین با اثر منفی که بر رشد و

تأثیر زغال زیستی بر بهبود برخی صفات ... / شریفه السادات نبوی و همکاران

کروم در تمامی صفات فیزیولوژیک و زیست‌شیمیایی توانست تفاوت معنی‌داری را در سطح ۱ درصد ایجاد کند. برهم‌کنش دو عامل تنها بر مقدار کلروفیل b و فعالیت دو آنزیم کاتالاز و سوپراکسید دیسموتاز در سطح ۱ درصد معنی‌دار بود (جدول ۴).

اندام هوایی و زیست‌توده خشک به دلیل سمیت کروم در گونه‌های مختلف گیاهی از جمله گندم، ماش، اسفناج، خردل، آفتابگردان و غیره نیز گزارش شده است (۳۶، ۳۷ و ۳۸).
صفات فیزیولوژیک و زیست‌شیمیایی: با توجه به نتایج تجزیه واریانس داده‌ها، اثر اصلی زغال زیستی و

جدول ۴- نتایج تجزیه واریانس اثر سطوح زغال زیستی بر برخی صفات فیزیولوژیک و زیست‌شیمیایی لوبیا چشم‌بلبلی کشت شده در خاک آلوده به کروم.

Table 4. Variance analysis of the effect of biochar levels on some physiological and biochemical traits of cowpea grown in Cr-contaminated soil.

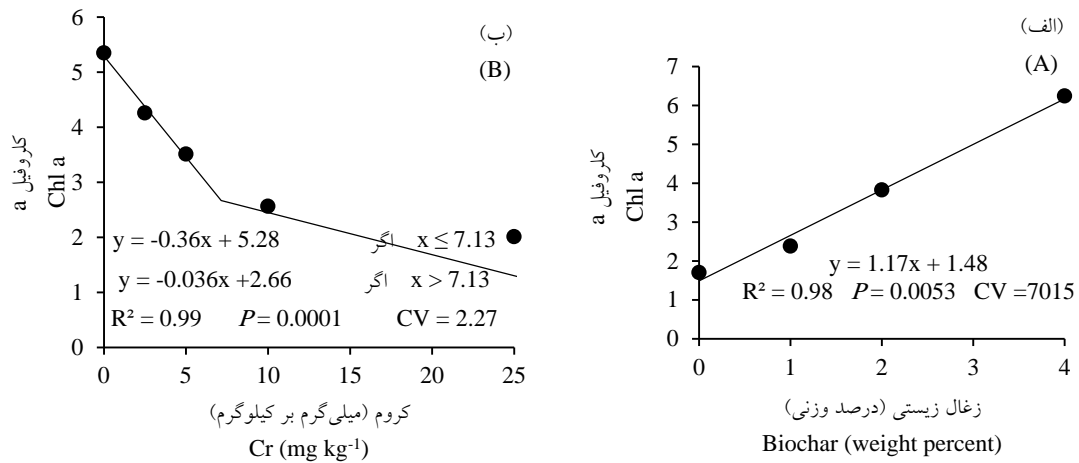
میانگین مربعات Mean of square								
سوپراکسید دیسموتاز Superoxide dismutase	کاتالاز Catalase	پراکسید هیدروژن Hydrogen peroxide	نشت الکترولیت Electrolyte leakage	کاروتنوئید Carotenoid	کلروفیل b Chl b	کلروفیل a Chl a	درجه آزادی df	منابع تغییرات S.O.V
0.27**	1.32**	0.07**	4209.26**	5.18**	11.55**	60.57**	3	زغال زیستی B
0.97**	1.69**	0.65**	6187.54**	1.58**	25.35**	21.22**	4	کروم Cr
0.01**	0.07**	0.01 ^{ns}	205.58 ^{ns}	0.04 ^{ns}	2.3**	0.77 ^{ns}	12	زغال زیستی × کروم B × Cr
0.006	0.0009	0.008	124.35	0.09	0.012	0.7	40	خطای آزمایش E
5.05	4.75	15.2	20.72	25.83	5.42	23.66		ضریب تغییرات (درصد) CV (%)

**، *، ^{ns} به ترتیب معنی‌داری در سطح احتمال ۱ و ۵ درصد و غیرمعنی‌دار

**، *، ^{ns} Significant differences at 1% and 5% levels and non-significant difference, respectively

۰/۳۶۷- و سپس ۰/۳۶۸- بر این رنگ‌دانه داشت (شکل ۳). محتوای این رنگ‌دانه به ترتیب در سطح ۲۵ میلی‌گرم بر کیلوگرم کروم و زغال زیستی ۴ درصد وزنی کم‌ترین و بیش‌ترین (۰/۶ و ۹) مقدار را داشت که نسبت به تیمار شاهد به ترتیب ۹۲/۸۸ و ۶۴/۵۱ درصد کاهش و افزایش را نشان داد.

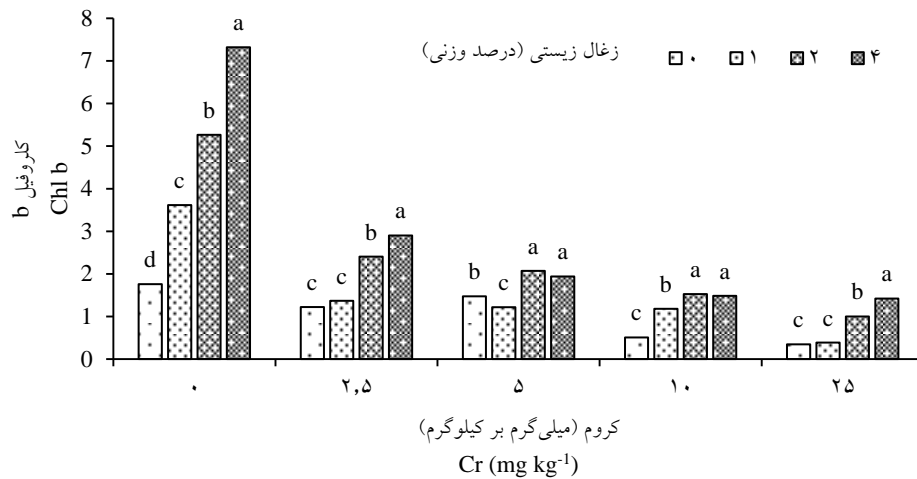
رنگ‌دانه‌ها: روند پاسخ محتوای کلروفیل a به افزایش سطوح زغال زیستی و کروم به ترتیب به صورت خطی ($R^2=0/98$) و دوتکه‌ای ($R^2=0/99$) بود. محتوای این رنگ‌دانه پاسخ مثبتی (شیب خط ۱/۱۷+) به افزایش مقدار زغال زیستی نشان داد. در مقایسه، افزایش غلظت کروم تأثیر منفی و معنی‌داری (با شیب‌خط



شکل ۳- اثر سطوح زغال زیستی (الف) و کروم (ب) بر محتوای کلروفیل a
Fig. 3. Effects of biochar (A) and Cr (B) levels on chlorophyll a content.

کم‌ترین میزان در سطح ۲۵ میلی‌گرم بر کیلوگرم و بدون کاربرد زغال زیستی (۰/۳۴) مشاهده شد به این صورت که نسبت به سطح ۴ درصد وزنی زغال زیستی و شاهد به ترتیب ۹۵/۲۷ و ۸۰/۲۹ درصد کم‌تر بود.

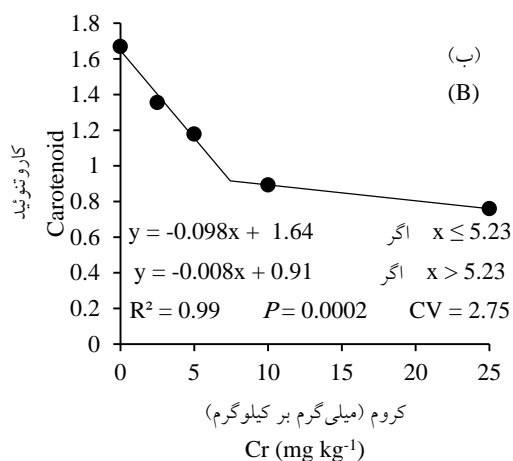
با توجه به مقایسه میانگین داده‌ها (شکل ۴)، همواره سطح ۴ درصد وزنی زغال زیستی در تمامی سطوح کروم بالاترین محتوای کلروفیل b (به ترتیب ۰/۷۳، ۲/۹، ۱/۹، ۱/۴۸ و ۱/۴۲) را دارا بود. با افزایش سطح کروم محتوای کلروفیل b کاهش یافت و



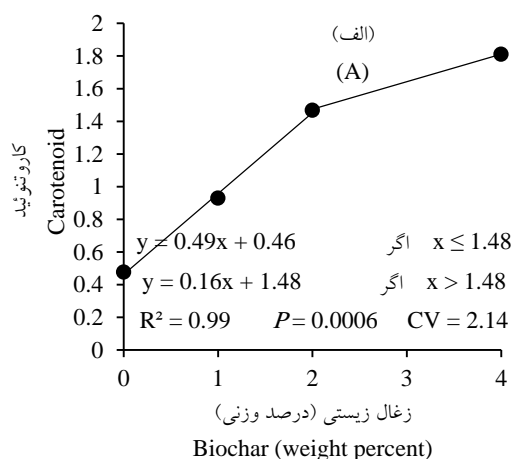
شکل ۴- برش‌دهی برهم‌کنش سطوح زغال زیستی و کروم بر محتوای کلروفیل b. در هر سطح کروم میانگین‌های دارای حرف یا حروف مشابه، تفاوت معنی‌داری در سطح احتمال ۵ درصد بر اساس آزمون حداقل اختلاف معنی‌دار (LSD) ندارند.

Fig. 4. Interaction of biochar and Cr levels on chlorophyll b content. At each Cr level, the means with the same letter(s) are not significantly different at the 5% level based on the least significant difference (LSD) test.

۰/۰۰۹- را نشان داد (شکل ۵). محتوای این رنگدانه نیز در دو تیمار سطح ۲۵ میلی گرم بر کیلوگرم کروم و زغال زیستی ۴ درصد وزنی به ترتیب کمترین و بیشترین (۰/۱ و ۲/۴) مقدار را نشان دادند که به ترتیب نسبت به شاهد ۹۵/۳۶ و ۶۶/۲ درصد کاهش و افزایش داشتند.



کاروتنوئید: روند پاسخ این پارامتر به افزایش سطح زغال زیستی و کروم از مدل دوتکه‌ای (هر دو با $R^2=0/99$) تبعیت کرد. افزایش سطح زغال زیستی موجب افزایش محتوای کاروتنوئید (با شیب خط ۰/۴۹۵ و سپس ۰/۱۶۸) و افزایش غلظت کروم روند کاهشی و منفی (با شیب خط -۰/۰۹۸ و سپس



شکل ۵- اثر سطوح زغال زیستی (الف) و کروم (ب) بر محتوای کاروتنوئید.

Fig. 5. Effect of biochar (A) and Cr (B) levels on carotenoid content.

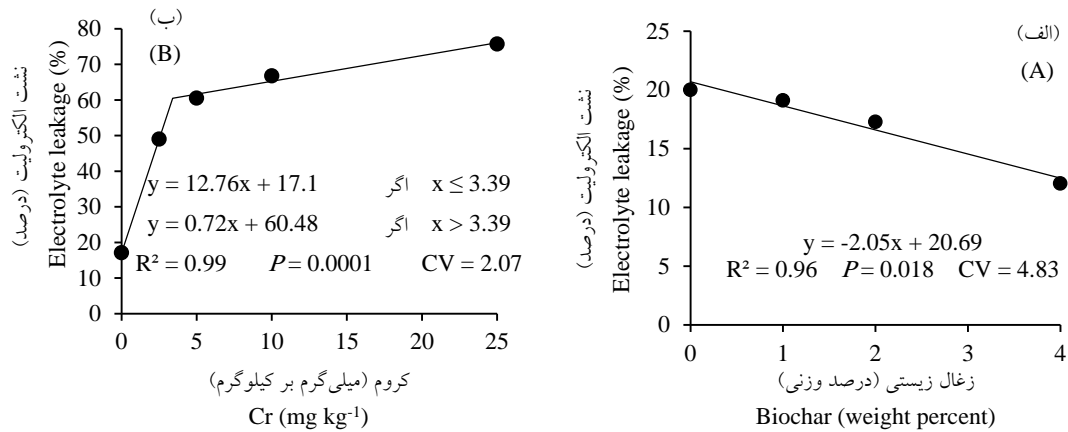
نگهداری آب در خاک و تماس ریشه با خاک از طریق کمک به توسعه سامانه ریشه‌ای (۶) در مجموع به بهبود پارامترهای رشد از جمله محتوای رنگدانه گیاه کمک می‌کنند.

نشت الکترولیت: با توجه به نتایج تجزیه واریانس (جدول ۴) تنها اثرات ساده زغال زیستی و کروم بر نشت الکترولیت معنی‌دار شد. با افزایش سطح زغال زیستی نشت الکترولیت به صورت خطی ($R^2=0/96$) و شیب خط -۲/۰۵ کم شد، اما افزایش غلظت کروم به صورت یک مدل دوتکه‌ای ($R^2=0/99$) و (با شیب خط ۱۲/۷۷۶ و سپس ۰/۷۲) مقدار این صفت را افزایش داد. بیشترین میزان نشت در سطح کروم ۲۵ میلی گرم در کیلوگرم (۹۳/۷۱ درصد) مشاهده شد که نسبت به تیمارهای ۲۵ میلی گرم در کیلوگرم کروم همراه زغال زیستی ۴ درصد وزنی و شاهد به ترتیب ۳۶/۹۴ و

کاهش محتوای کلروفیل ناشی از سمیت کروم می‌تواند به دلیل ایجاد تغییر در ساختار کلروپلاست، جلوگیری از تولید رنگدانه و همچنین تجزیه کلروفیل ناشی از افزایش فعالیت کلروفیلاز و تولید گونه‌های فعال اکسیژن باشد (۳۹). در میان مولکول‌های آنتی‌اکسیدان در سامانه دفاعی گیاه در برابر آسیب اکسیداتیو، کاروتنوئیدها در از بین بردن گونه‌های فعال اکسیژن بسیار مؤثر هستند و از سلول محافظت می‌کنند (۴۰). بنابراین کاهش محتوای رنگدانه‌ها طی تنش به ضرر گیاه تمام خواهد شد. انواع زغال زیستی اصلاح‌کننده بسیار مهمی برای خاک هستند زیرا نه تنها منبع غنی از بسیاری از عناصر غذایی مهم مانند کربن، نیتروژن و گوگرد هستند که با سرعت‌های متفاوتی آزاد شده و حاصلخیزی را تحت تأثیر قرار می‌دهند (۴۱) بلکه با افزایش ظرفیت

آورد. افزایش نشت الکترولیت می‌تواند ناشی از تحریک تولید گونه‌های فعال اکسیژن باشد (۸۷). افزایش نشت الکترولیت ناشی از سمیت کروم در اسفناج (۴۲) و ارقام برنج (۳۸) نیز پیش‌تر گزارش شده بود.

۷۳/۷۱ درصد افزایش نشان داد (شکل ۶). به نظر می‌رسد نشت الکترولیت در برابر غلظت کروم بسیار حساس بوده و با اندازه‌گیری آن می‌توان برآوردی از میزان آسیب‌پذیری ناشی از تنش فلز کروم را به دست

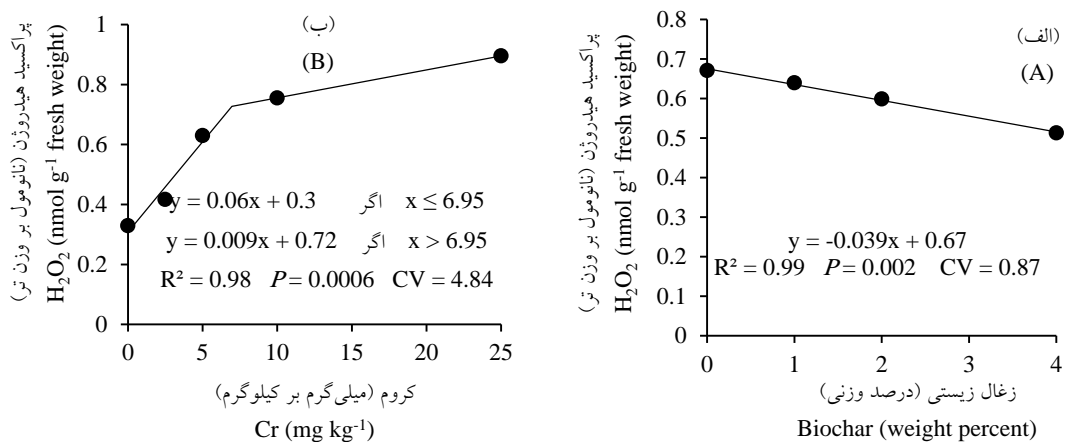


شکل ۶- اثر سطوح زغال زیستی (الف) و کروم (ب) بر درصد نشت الکترولیت.

Fig. 6. Effect of biochar (A) and Cr (B) levels on electrolyte leakage percent.

شیب‌خط (ابتدا ۰/۰۶ و سپس ۰/۰۰۹) پیروی کرد. بیش‌ترین میزان تولید پراکسید هیدروژن (۰/۶۷ نانومول بر وزن تر) در تیمار کروم سطح ۲۵ میلی‌گرم بر کیلوگرم ثبت شد که نسبت به تیمارهای شاهد و زغال زیستی ۴ درصد وزنی به ترتیب ۶۷/۵۷ و ۶۵/۳۸ درصد افزایش نشان داد (شکل ۷).

پراکسید هیدروژن: بر اساس نتایج تجزیه واریانس (جدول ۴) تنها اثرات اصلی سطوح زغال زیستی و کروم بر میزان پراکسید هیدروژن در گیاه معنی‌دار بود. با افزایش میزان کاربرد زغال زیستی تولید پراکسید هیدروژن با یک‌روند خطی ($R^2 = 0.99$) و شیب‌خط ۰/۰۳۹- کم شد. پاسخ پراکسید هیدروژن به افزایش سطح کروم از یک مدل دوتکه‌ای ($R^2 = 0.98$) با

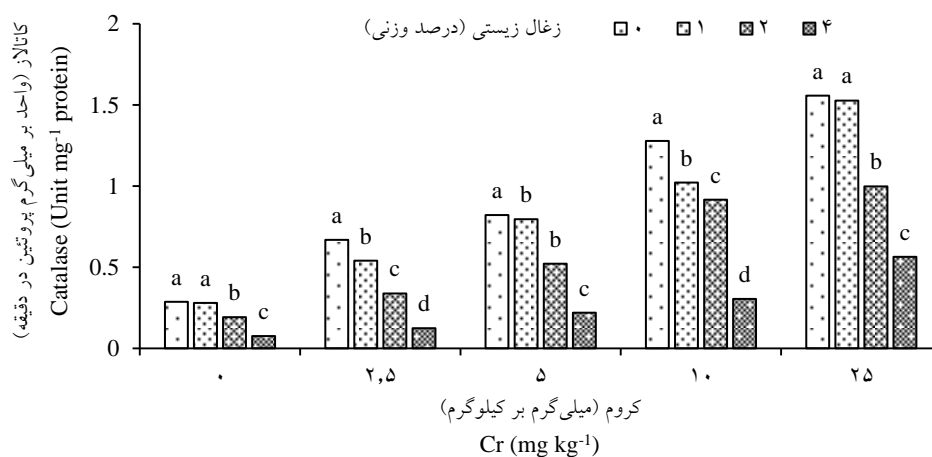


شکل ۷- اثر سطوح زغال زیستی (الف) و کروم (ب) بر تولید پراکسید هیدروژن.

Fig. 7. Effect of biochar (A) and Cr (B) levels on hydrogen peroxide production.

(جدول ۴). مطابق شکل ۱۱ گیاهانی که تحت غلظت‌های بالای کروم قرار گرفته بودند از فعالیت بالاتر آنزیم کاتالاز برخوردار بودند. با این حال، استفاده از زغال زیستی در تمامی سطوح کروم فعالیت کاتالاز را کاهش داد. در تمام سطوح کروم به ترتیب سطح زغال زیستی ۴ درصد وزنی و عدم استفاده از زغال زیستی همواره کم‌ترین و بیش‌ترین میزان تولید این آنزیم را داشتند. بیش‌ترین میزان تولید این آنزیم در سطح کروم ۲۵ میلی‌گرم بر کیلوگرم و عدم کاربرد زغال زیستی (۱/۵۵) واحد آنزیمی بر میلی‌گرم پروتئین در دقیقه) مشاهده شد که نسبت به سطح زغال زیستی ۴ درصد وزنی و شاهد (۰/۰۷ و ۰/۲ واحد آنزیمی بر میلی‌گرم پروتئین در دقیقه) به ترتیب ۹۵/۱۲ و ۸۱/۵۶ درصد بیش‌تر بود.

پراکسید هیدروژن نقشی کلیدی در فرآیندهای سلولی دارد و در اندامک‌هایی چون میتوکندری، کلروپلاست و پراکسی‌زوم تولید می‌شود. این گونه فعال اکسیژن در مقادیر اندک نقش پیام‌رسان را ایفاء می‌کند اما به دنبال تنش و ایجاد مقادیر بالاتر سبب ایجاد مسمومیت در سلول می‌گردد. میزان این ماده در گیاه از جمله شاخص‌های مهم در ارزیابی شدت تنش می‌باشد که طی حضور فلزات سنگین افزایش می‌یابد (۴۳). در پژوهش مشابهی در کاهو میزان تولید این ماده از ۰/۹ در سطح صفر کروم به ۱/۲۹ میکرومول بر گرم در بالاترین سطح کروم (۱۵ میلی‌گرم بر لیتر) رسید (۴۴).
کاتالاز: اثرات اصلی و برهم‌کنش زغال زیستی و کروم بر میزان فعالیت آنزیم کاتالاز کاملاً معنی‌دار بود



شکل ۸- برش‌دهی برهم‌کنش سطوح زغال زیستی و کروم بر تولید کاتالاز. در هر سطح کروم میانگین‌های دارای حرف یا حروف مشابه، تفاوت معنی‌داری در سطح احتمال ۵ درصد بر اساس آزمون حداقل اختلاف معنی‌دار (LSD) ندارند.

Fig. 8. Interaction slicing of biochar and Cr levels on catalase production. At each Cr level, the means with the same letter(s) are not significantly different at the 5% level based on the least significant difference (LSD) test.

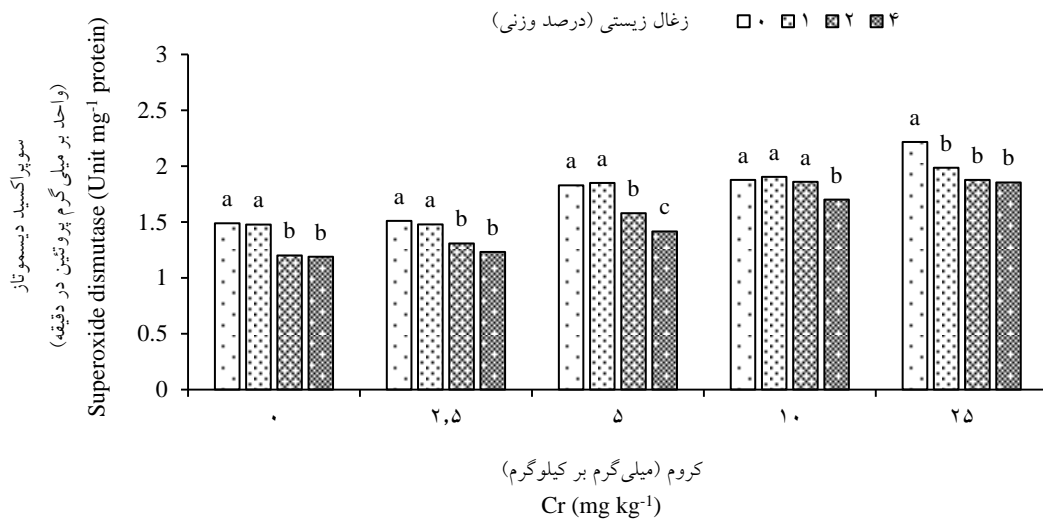
فعال اکسیژن) نیز افزایش یافت که گواه آسیب وارده به سلول‌ها می‌باشد؛ بنابراین افزایش سطح کروم موجب بیش‌تر شدن فعالیت آنزیم کاتالاز می‌گردد که ناشی از افزایش تولید رادیکال‌های آزاد است (۴۵). از سوی، زغال زیستی ابتدا خواص خاک را بهبود

کاتالاز از جمله آنتی‌اکسیدان‌های آنزیمی مهمی می‌باشد که از تولید گونه‌های فعال اکسیژن ممانعت به عمل می‌آورد. در پژوهش حاضر نیز با توجه به نتایج به‌دست‌آمده (شکل ۸)، با افزایش سطح کروم میزان تولید پراکسید هیدروژن (نوعی از گونه‌های

و بالاترین میزان تولید آن (۲/۲۱) واحد آنزیمی بر میلی‌گرم پروتئین در دقیقه) در سطح ۲۵ میلی‌گرم بر کیلوگرم کروم و عدم استفاده از زغال زیستی مشاهده شد که نسبت به سطح زغال زیستی ۴ درصد وزنی و شاهد (۱/۴ و ۱/۱) واحد آنزیمی بر میلی‌گرم پروتئین در دقیقه) به ترتیب ۴۶/۳۲ و ۳۲/۸ درصد افزایش نشان داد. در تمامی غلظت‌های کروم خاک، سطح زغال زیستی ۴ درصد وزنی همیشه کم‌ترین میزان تولید این آنزیم را نشان داد (شکل ۹).

می‌بخشد و با ایجاد محیطی پایدار برای ریشه‌ها مانع از بروز اثرات منفی ناشی از تنش اکسیداتیو می‌گردد (۴۶).

سوپراکسید دیسموتاز: براساس تجزیه واریانس داده‌ها (جدول ۴)، اثرات اصلی و برهم‌کنش سطوح زغال زیستی و کروم بر میزان تولید سوپراکسید دیسموتاز تفاوت معنی‌داری را نشان دادند. هم‌چنین در مقایسه میانگین داده‌ها، همواره با افزایش سطح کروم میزان تولید سوپراکسید دیسموتاز افزایش یافت



شکل ۹- برش‌دهی برهم‌کنش سطوح زغال زیستی و کروم بر تولید آنزیم سوپراکسید دیسموتاز. در هر سطح کروم میانگین‌های دارای حرف یا حروف مشابه، تفاوت معنی‌داری در سطح احتمال ۵ درصد بر اساس آزمون حداقل اختلاف معنی‌دار (LSD) ندارند.

Fig. 9. Interaction slicing of biochar and Cr levels on superoxide dismutase production. At each Cr level, the means with the same letter(s) are not significantly different at the 5% level based on the least significant difference (LSD) test.

گونه‌های فعال اکسیژن به وجود آورد (۴۹). به‌علاوه، ویژگی‌های مثبت ناشی از کاربرد زغال زیستی را هم‌چنین می‌توان به کاهش جذب کروم در گیاه از طریق جذب سطحی، رسوب و یا تشکیل ترکیبات پیچیده روی زغال زیستی نسبت داد که منجر به افزایش رشد گیاه می‌گردد (۵۰). سطح زغال زیستی معمولاً دارای بار منفی است، اما بارهای سطحی مثبت نیز وجود دارند (۵۱). اثر بهبود مشاهده‌شده ناشی از

سوپراکسید دیسموتاز اولین ماده در خط دفاعی گیاه در برابر تنش‌ها می‌باشد. این آنزیم سبب تبدیل رادیکال‌های سوپراکسید به پراکسید هیدروژن شده که در ادامه به آب و اکسیژن تجزیه می‌شود (۴۷)؛ بنابراین گیاه با استفاده از این سامانه آنزیمی با آسیب وارده ناشی از فلز سنگین مقابله می‌کند (۴۸). هم‌چنین، کاربرد زغال زیستی در خاک می‌تواند سازوکار دفاع آنتی‌اکسیدانی قدرتمندی را در برابر

(جدول ۵) بین وزن خشک و تولید پراکسید هیدروژن، فعالیت آنزیم‌های سوپراکسید دیسموتاز و کاتالاز در گیاه همبستگی منفی و معنی‌داری (به ترتیب $r = -0/811^{**}$ ، $r = -0/847^{**}$ و $r = -0/893^{**}$) مشاهده شد. همچنین همبستگی بین تولید پراکسید هیدروژن و فعالیت دو آنزیم سوپراکسید دیسموتاز و کاتالاز مثبت و معنی‌دار (به ترتیب با ضریب همبستگی $r = 0/861^{**}$ و $r = 0/867^{**}$) بود. این یافته نشان می‌دهد که این آنزیم‌ها به صورت هماهنگ در پاسخ به تنش اکسیداتیو عمل می‌کنند.

کاربرد زغال زیستی می‌تواند با جذب کروم (سه و شش ظرفیتی) در سطوح باردار زغال زیستی از طریق جاذبه‌های الکترواستاتیک مرتبط باشد (۵۲). در فرآیند کاهش فراهمی زیستی کروم اجزای معدنی زغال زیستی شامل فسفات‌ها و کربنات‌ها (۵۳) و گروه‌های عاملی حاوی اکسیژن و هیدروژن (۵۰) دخیل هستند. زغال زیستی هم‌چنین از طریق اهدای الکترون، فرم خطرناک شش ظرفیتی کروم را به فرم با تحرک و انحلال‌پذیری کمتر سه ظرفیتی احیاء می‌کند (۵۴).
همبستگی صفات زیست‌شیمیایی: براساس یافته‌ها

جدول ۵- ضرایب همبستگی بین صفات مورد مطالعه و وزن خشک اندام هوایی در لوبیا چشم‌بلبلی.

Table 5. Correlation coefficients between studied traits and shoot dry weight in cowpea.

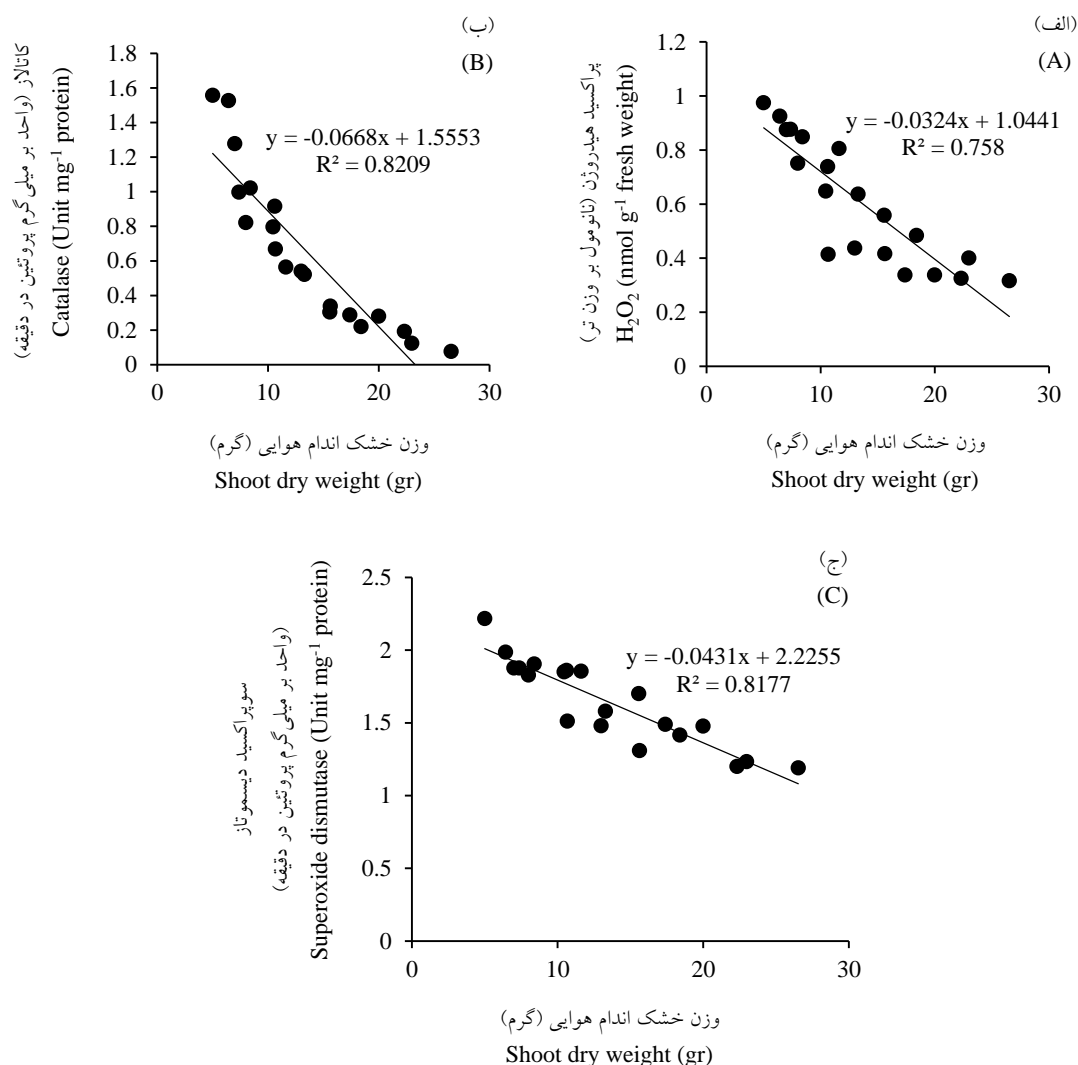
پارامتر Parameter	وزن خشک اندام هوایی SDW	کاتالاز CAT	سوپراکسید دیسموتاز SOD	پراکسید هیدروژن H ₂ O ₂
وزن خشک اندام هوایی SDW	1			
کاتالاز CAT	-0.89**	1		
سوپراکسید دیسموتاز SOD	-0.85**	0.85**	1	
پراکسید هیدروژن H ₂ O ₂	-0.81**	0.87**	0.86**	1

**، *، ns به ترتیب معنی‌داری در سطح احتمال ۱ و ۵ درصد و غیرمعنی‌دار

**، *، ns Significant differences at 1% and 5% levels and non-significant difference, respectively

کاتالاز، وزن خشک گیاه افزایش می‌یابد. هم‌چنین بین وزن خشک گیاه و فعالیت آنزیم سوپراکسید دیسموتاز نیز یک رابطه خطی کاهشی ($R^2 = 0/8177$) و شیب خط $-0/0431$ (مشاهده شد (شکل ۱۰-ج) و این احتمالاً به این دلیل است که انرژی به جای آن‌که صرف تولید آنزیم‌ها شود صرف تجمع ماده خشک در گیاه شده است.

بر اساس یافته‌ها، یک رابطه خطی کاهشی بین وزن خشک گیاه و میزان تولید پراکسید هیدروژن ($R^2 = 0/758$ و شیب خط $-0/0324$) مشاهده شد (شکل ۱۰-الف). رابطه بین وزن خشک گیاه و فعالیت آنزیم کاتالاز نیز خطی و کاهشی ($R^2 = 0/82$) و شیب خط $-0/0668$ بود (شکل ۱۰-ب). شیب منفی نشان‌دهنده این است که با کاهش فعالیت آنزیم



شکل ۱۰- رابطه رگرسیونی بین وزن خشک و تولید پراکسید هیدروژن (الف) و فعالیت آنزیم‌های کاتالاز (ب) و سوپراکسید دیسموتاز (ج).

Fig. 10. The regression relationship between the production of hydrogen peroxide (A) and the activity of catalase (B) and superoxide dismutase (C).

نکته می‌باشند (شکل ۷). هم‌چنین با افزایش سطوح زغال زیستی، مطابق شکل‌های ۸ و ۹ فعالیت دو آنزیم سوپراکسید دیسموتاز و کاتالاز نیز به صورت معنی‌داری روند کاهشی را نشان داد که دلالت بر تعدیل شرایط تنش برای گیاه دارد.

نتیجه‌گیری کلی

افزایش غلظت کروم در خاک به صورت منفی تمامی صفات ریخت‌شناسی، فیزیولوژیک و

پراکسید هیدروژن تولیدشده ناشی از تنش در سیتوپلاسم، به سرعت توسط آنتی‌اکسیدان‌های آنزیمی تجزیه می‌شود و بخشی از آن وارد فضای آپوپلاستی می‌شود (۵۵). افزایش غلظت این ماده در این دو مکان در مرحله اول سبب افزایش فعالیت کاتالاز و سپس سوپراکسید دیسموتاز می‌گردد (۵۶). به علاوه، کاربرد زغال زیستی محتوای گونه‌های اکسیژن فعال را در گیاه کاهش می‌دهد که تأثیر مثبتی بر محصولات زراعی دارد (۵۷)، نتایج پژوهش حاضر نیز بیانگر این

کاتالاز و سوپراکسید دیسموتاز و تولید پراکسید هیدروژن با وزن خشک اندام هوایی (به ترتیب $^{**}0/89$ ، $^{**}0/85$ و $^{**}0/81$) بودند. در مجموع، نتایج بیانگر نقش کارآمد زغال زیستی به عنوان یک اصلاح کننده خاک و همچنین کاهش تنش ناشی از کروم در گیاه لوبیا چشم بلبلی بود. با توجه به کارکرد خوب زغال زیستی در پژوهش حاضر پیشنهاد می شود که از گیاهان بومی با قابلیت گیاه پالایی کروم و همچنین از مزایای همزیستی ریزجانداران با این گیاهان نیز به منظور افزایش این پتانسیل در جهت پاک سازی این فلز سنگین از خاک های آلوده استفاده شود.

سیاسگزارى

به این وسیله از دانشگاه علوم کشاورزی و منابع طبیعی ساری برای حمایت های مالی در مراحل اجرای این پژوهش کمال تقدیر و تشکر به عمل می آید.

زیست شیمیایی مورد مطالعه در گیاه لوبیا چشم بلبلی را تحت تأثیر قرارداد. اثرات سمی کروم در غلظت ۲۵ میلی گرم بر کیلوگرم نسبت به سایر سطوح چشمگیرتر بود. در مقایسه، در تمامی سطوح کروم همواره سطح ۴ درصد وزنی زغال زیستی بهترین نتایج را با توجه به پارامتر مورد ارزیابی به همراه داشت. به کارگیری این سطح زغال زیستی توانست صفات ریخت شناسی شامل قطر ساقه، ارتفاع بوته، وزن خشک اندام هوایی، ریشه و کل بوته را بهبود بخشد. این سطح زغال زیستی توانست صفات فیزیولوژیک شامل کلروفیل های a و b و کاروتنوئید را به میزان ۹۲/۸۸، ۹۵/۲۷، ۹۵/۳۶ درصد و همچنین استحکام غشاء را به میزان حدود ۳۷ درصد افزایش دهد. در مقایسه، فعالیت آنی اکسیدان های آنزیمی کاتالاز و سوپراکسید دیسموتاز و تولید پراکسید هیدروژن را به میزان ۴/۸۸، ۵۳/۶۸ و ۳۴/۲۵ درصد کاهش داد. نتایج همچنین بیانگر وجود همبستگی منفی بین فعالیت دو آنزیم

منابع

1. Mauskar, J. M. (2007). Cadmium-An Environment Toxicant central pollution control Board, Ministry of Environment and Forests, Government of India, parivesh Bhawan, East Arjun Nagar. Delhi-110032.
2. Gosh, M., & Singh, S. (2005). Comparative uptake and pytoextraction study of soil induced chromium by accumulator and high biomass weed species. *Applied Ecology and Environmental Research*, 3(2), 67-69.
3. Yu, X. Z., & Gu, J. D. (2008). The role of EDTA in phytoextraction of hexavalent and trivalent chromium by two willow trees. *Ecotoxicology*, 17(3), 143-152.
4. Srivastava, D., Tiwari, M., Dutta, P., Singh, P., Chawda, K., Kumari, M., & Chakrabarty, D. (2021). Chromium stress in plants: toxicity, tolerance and phytoremediation. *Sustainability*, 13(9), 4629.
5. Richard, J., Lewis, S.R., & Wiley, J. (2001). *Hawleys condensed chemical dictionary*. fourteenth edition. 453p.
6. Zulfiqar, F., Moosa, A., Ferrante, A., Darras, A., Ahmed, T., Jalil, S., & El Sabagh, A. (2024). Melatonin seed priming improves growth and physio-biochemical aspects of *Zinnia elegans* under salt stress. *Scientia Horticulturae*, 323, 112495.
7. Cheng, Q., Huang, Q., Khan, S., Liu, Y., Liao, Zh., Li, G., & Sikok, Y. (2016). Adsorption of Cd by peanut husks and peanut husk biochar from aqueous solutions. *Ecological Engineering*, 87, 240-245.
8. Wang, Zh., Shen, F., Shen, D., Jiang, Y., & Xiao, R. (2017). Immobilization of Cu^{2+} and Cd^{2+} by earthworm manure derived biochar in acidic circumstance. *Journal of Environmental Sciences*, 53, 293-300.

9. Conte, P. (2021). *Annual Reports on NMR Spectroscopy*. Chapter Three - Applications of fast field cycling NMR relaxometry. Pp, 141-188.
10. Wu, W., Yang, M., Feng, Q., McGrouther, K., Wang, H., Lu, H., & Chen, Y. (2012). Chemical characterization of rice straw-derived biochar for soil amendment. *Biomass and Bioenergy*, 47, 268-276.
11. Choppala, G. K., Bolan, N. S., Megharaj, M., Chen, Z., & Naidu, R. (2012). The influence of biochar and black carbon on reduction and bioavailability of chromate in soils. *Journal of Environmental Quality*, 41, 1175-1184.
12. Haider, F., Wang, X., Farooq, M., Hussain, S., Cheema, S. A., Ain, N., Virk, A. L., Ejaz, M., Janyshova, U., & Liqun, C. (2022). Biochar application for the remediation of trace metals in contaminated soils: Implications for stress tolerance and crop production. *Ecotoxicology and Environmental Safety*, 230, 113165.
13. Kar, S., & Prasad, R. (2020). Adverse Effects of Chromium, Cadmium and Zinc on the Growth and Metabolic Activities of Pulse Crops and their Key Management Strategies: A Review. *International Journal of Current Microbiology and Applied Sciences*, 9(4), 48-63.
14. Singh, J., Hembram, P., & Basak, J. (2014). Potential of *Vigna unguiculata* as a phytoremediation plant in the remediation of Zn from contaminated soil. *American Journal of Plant Sciences*, 5, 1156-1162.
15. Oliveira, M. L. J., Araujo, A. S. F. D., & Melo, W. J. D. (2015). Chromium in soil organic matter and cowpea after four consecutive annual applications of composted tannery sludge. *Revista Brasileira de Ciencia do Solo*, 39, 297-302.
16. De-Sousa, R. S., Nunes, L. A. P. L., Lima, A. B. D., Melo, W. J. D., Antunes, J. E. L., & Araujo, A. S. F. D. (2018). Chromium accumulation in maize and cowpea after successive applications of composted tannery sludge. *Acta Scientiarum Agronomy*, 40, e3536.
17. Aliku, C. B., & Aliku, O. O. (2022). *Enhanced phytoremediation of chromium contaminated soil using cowpea*. Proceedings of the Forty-fourth AMOP Technical Seminar, Environment and Climate Change Canada, Ottawa, ON, Canada. 553-562.
18. Kumar, P., & Chauhan, M. S. (2019). Adsorption of chromium (VI) from the synthetic aqueous solution using chemically modified dried water hyacinth roots. *Journal of Environmental Chemical Engineering*, 7(4), 103218.
19. Bouyoucos, G. J. (1962). Hydrometer method improved for making particle size analyses of soils. *Agronomy Journal*, 54, 464-465.
20. Thomas, G. W. (1996). *Soil pH and soil acidity*. p. 475-490. In D. L. Sparks et al., (eds) *Methods of Soil Analysis*. Part 3- ASA, Madison. WI.
21. Rhoades, J. D. (1996). *Salinity: Electrical Conductivity and total dissolved solids*. In: *Methods of Soil Analysis* (eds. D.L. Sparks et al.). Pp. 417-436. Part 3 part 3-American Society of Agronomy. Madison. WI.
22. Walkley, A., & Black, I. A. (1934). An examination of method for determining soil organic matter and proposed modification of the chromic acid titration method. *Soil Science*, 37, 29-37.
23. Loeppert, R. H., & Suarez, D. L. (1996). *Carbonate and gypsum*. In: Sparks, D.L. (eds). *Methods of Soil Analysis*. Part 3. 3rd ed. SSSA, Madison, Wisconsin. 437-474.
24. Song, W., & Guo, M. (2012). Quality variations of poultry litter biochar generated at different pyrolysis temperatures. *Journal of Analytical and Applied Pyrolysis*, 94, 138-145.
25. Rajkovich S., Enders A., Hanley K., Hyland C., Zimmerman A. R., &

- Lehmann J. (2012). Corn growth and nitrogen nutrition after additions of biochars with varying properties to a temperate soil. *Biology and Fertility of Soils*, 48(3), 271-284.
26. Porra, R. J. (2002). The chequered history of the development and use of simultaneous equations for the accurate determination of chlorophylls a and b. *Photosynthesis Research*, 73(1), 149-156.
27. Lutts, S., Kinet, J. M., & Bouharmont, J. (1995). Changes in plant response to NaCl during development of rice (*Oryza sativa* L.) varieties differing in salinity resistance. *Journal of Experimental Botany*, 46, 1843-1852.
28. Sairam, R. K., Veerabhadra Rao, K., & Srivastava, G. C. (2002). Differential response of wheat genotypes to long term salinity stress in relation to oxidative stress, antioxidant activity and osmolyte concentration. *Plant Science*, 163(5), 1037-1046.
29. Abi, H. (1984). Catalase in vitro. *Method of Enzymology*, 105, 121-126.
30. Sergive, I., Alexieva, V., & Karanov, E. (1997). Effect of spermine, atrazine and combination between them on some endogenous protective systems and stress markers in plants. *Bulgarian Academy of Sciences*, 51, 121-124.
31. Beauchamp, C., & Fridovich, I. (1971). Superoxide dismutase: improved assays and an assay applicable to acrylamide gels. *Analytical Biochemistry*, 44(1), 276-287.
32. Lupo, Y., & Moshelion, M. (2024). The balance of survival: comparative drought response in wild and domesticated tomatoes. *Plant Science*, 339, 111928.
33. Taratima, W., Kunpratun, N., & Maneerattanarungroj, P. (2023). Effect of salinity stress on physiological aspects of pumpkin (*Cucurbita moschata* Duchesne. 'Laikaotok') under hydroponic condition. *Asian Journal of Agriculture and Biology*, 2, 202101050.
34. Shanker, K. A., Cervantes, C., Loza-Taversa, H., & Avudainayagam, S. (2005) Chromium toxicity in plants. *Environment International*, 31, 739-753.
35. Iqbal, M. Z., Saeeda, S., & Shafiq, M. (2001). Effects of chromium on an important arid tree (*Caesalpinia pulcherrima*) of Karachi city, Pakistan. *Ekologia Bratislava*, 20, 414-422.
36. Ali, S., Rizwan, M., Bano, R., Bharwana, S. A., Rehman, M. Z., Hussain, M. B., & Al-Wabel, M. I. (2018). Effects of biochar on growth, photosynthesis, and chromium (Cr) uptake in *Brassica rapa* L. under Cr stress. *Arabian Journal of Geosciences*, 11, 507.
37. Sehrish, A. K., Aziz, R., Hussain, M. M., Rafiq, M. T., Rizwan, M., Muhammad, N., Rafiq, M. K., Sehar, A., Din, udJ., Al-Wabel, M. I., & Ali, S. (2019). Effect of poultry litter biochar on chromium (Cr) bioavailability and accumulation in spinach (*Spinacia oleracea*) grown in Cr-polluted soil. *Arabian Journal of Geosciences*, 12, 57.
38. Wakeel, A., Xu, M., & Gan, Y. (2020). Chromium-induced reactive oxygen species accumulation by altering the enzymatic antioxidant system and associated cytotoxic, genotoxic, ultrastructural, and photosynthetic changes in plants. *International Journal of Molecular Sciences*, 21, 728.
39. Ali, H., Khan, Kh., & Sajad, M. (2013). Phytoremediation of heavy metals Concepts and applications. *Chemosphere*, 91, 869-881.
40. McElroy, J. S., & Kopsell, D. A. (2009). Physiological role of carotenoids and other antioxidants in plants and application to turfgrass stress management. *New Zealand Journal of Crop and Horticultural Science*, 37, 327-333.
41. Mukherjee, A. A., & Zimmerman, R. (2013). Organic carbon and nutrient release from a range of laboratory-produced biochars and biochar-soil mixtures. *Geoderma*, 193(1), 122-130.
42. Sami, H., Ashraf, K., Sultan, K., Alamri, S., Abbas, M., Javed, S., & Zaman, Q.

- (2023). Remediation potential of biochar and selenium for mitigating chromium-induced stress in spinach to minimize human health risk. *South African Journal of Botany*, 163, 2347-249.
43. Subrahmanyam, D. (2008). Effects of chromium toxicity on leaf photosynthetic characteristics and oxidative changes in wheat (*Triticum aestivum* L.). *Photosynthetica*, 46(3), 339-345.
44. Azarmi, R., & Majnooni, Z. (2023). The interaction effect of chromium and fulvic acid on the morphological and physiological traits of lettuce (*Lactuca sativa* L.) in hydroponic condition. *Journal of Vegetation Science*, 6(2), 123-134.
45. Shafi, M., Bakht, J., Hassan, M. J., Raziuddin, M., & Zhang, G. (2009). Effect of cadmium and salinity stresses on growth and antioxidant enzyme activities of wheat (*Triticum aestivum* L.). *Bulletin of Environmental Contamination and Toxicology*, 82, 772-776.
46. Amami, R., Ibrahimi, K., Sher, F., Milham, P. J., Khriji, D., Annabi, H. A., Abrougui, Kh., & Chehaibi, S. (2022). Effects of conservation and standard tillage on soil physico-chemical properties and overall quality in a semi-arid agrosystem. *Soil Research*, 60, 485-496.
47. Asoda, K. (1994). Production and action of active oxygen species in photosynthetic tissue. In causes of photooxidative stress and amelioration of defense system in plant. (Eds.): Foyer CH, and Mullineaux PM. CRC Press, Boca Raton, Pp. 77-104.
48. Shu, X., Yin, L., Zhang, Q., & Wang, W. (2012). Effect of Pb toxicity on leaf growth, antioxidant ant enzyme activities, and photosynthesis in cuttings and seedlings of *Jatropha curcas* L. *Environmental science and pollution research international*, 19(3), 893-902.
49. Suliman, W., Harsh, J. B., Abu-Lail, N. I., Fortuna, A. M., Dallmeyer, I., & Garcia-Perez, M. (2017). The role of biochar porosity and surface functionality in augmenting hydrologic properties of a sandy soil. *Science of the Total Environment*, 574, 139-147.
50. Patra, J. M., Panda, S. S., & Dhal, N. K. (2017). Biochar as a low-cost adsorbent for heavy metal removal: A review. *International Journal of Research in BioSciences*, 6, 1-7.
51. Park, J. H., Choppala, G. K., Bolan, N. S., Chung, J.W., & Chuasavathi, T. (2011). Biochar reduces the bioavailability and phytotoxicity of heavy metals. *Plant and Soil*, 348, 439-451.
52. Inyang, M., Gao, B., Pullammanappallil, P., Ding, W., & Zimmerman, A. R. (2010). Biochar from anaerobically digested sugarcane bagasse. *Bioresource Technology*, 101, 8868-8872.
53. Ahmad, M., Rajapaksha, A. U., Lim, J. E., Zhang, M., Bolan, N., Mohan, D., Vithanage, M., Lee, S. S., & Ok, Y. S. (2013). Biochar as a sorbent for contaminant management in soil and water: A review. *Chemosphere*, 99, 19-33.
54. Houben, D., Evrard, L., & Sonnet, P. (2013). Mobility, bioavailability and pH-dependent leaching of cadmium, zinc and lead in a contaminated soil amended with biochar. *Chemosphere*, 92, 1450-1457.
55. Foyer, C. H., & Noctor, G. (2009). Redox regulation in photosynthetic organisms: signaling, acclimation, and practical implications. *Advances in Radio Science*, 11(4), 861-905.
56. Demidchik, V. (2015). Mechanisms of oxidative stress in plants: from classical chemistry to cell biology. *Environmental and Experimental Botany*, 109, 212-228.
57. Cong, M., Hu, Y., Sun, X., Yan, H., Yu, G., Tang, G., Chen, S., Xu, W., & Jia, H. (2023). Long-term effects of biochar application on the growth and physiological characteristics of maize. *Frontiers in Plant Science*, 14, 1172425.